

Quantifying Resilience of Urban Drainage Systems Based on the Hydraulic Performance Assessment

N. Binesh¹, M.H. Niksokhan², A. Sarang³

1. PhD. Student of Environmental Engineering-Water Resources,
University of Tehran, Tehran, Iran
2. Assoc. Prof., Faculty of Environment, University of Tehran, Tehran, Iran
(Corresponding Author) niksokhan@ut.ac.ir
3. Assist. Prof., Faculty of Environment, University of Tehran, Tehran, Iran

(Received May 2, 2017 Accepted Aug. 6, 2017)

To cite this article :

Binesh, N., Niksokhan, M.H., Sarang, A., 2018, "Quantifying resilience of urban drainage systems based on the hydraulic performance assessment." Journal of Water and Wastewater, 29 (5), 61- 71.
Doi: 10.22093/wwj.2017.83872.2392 (In Persian)

Abstract

Sustainable management of Urban Drainage Systems (UDSs) is challenging since the hydraulic characteristics and pollutants discharged into catchment areas are constantly changing. Quantifying the resilience of UDSs is a crucial step towards long-term and sustainable management of these chatments in urban areas. This study was performed to evaluate the resilience of UDSs against flooding through combining hydraulic performance of stormwater drainage network with the system performance function. To conduct this performance evaluation extreme rainfall intensity values for different return year periods ranging from 2 to 100 years were used for catchment drained into the West Flood-Diversion (WFD) system in Tehran. Both hydraulic and hydrodynamic simulations were performed for these stormwater drainage system under two scenarios: with and without BMPs. To further evaluate the systems performance and resilience, additional simulation analysis was performed using one specific flooded node under extreme rainfalls with different return periods. The results showed that adding a vegetative swale to the drainage system would decrease the nodal flooding duration and the flood volume up to 15% and 47%, respectively. The results also shown that the resilience against flooding will increase from about 0.4% up to 6% under the above-mentioned conditions. From the results of this study, we can conclude that employing some types of BMP along with the existence low-impact development measures within the traditional urban drainage areas may be sufficient to increase the system resilience and sustainable control of flooding.

Keywords: Resilience, Performance Function, Urban Drainage System (UDS), Management Practices.



کمی‌سازی بازگشت‌پذیری سیستم زهکشی شهری بر اساس ارزیابی عملکرد هیدرولیکی

نگین بینش^۱، محمدحسین نیک‌سخن^۲، امین سارنگ^۳

۱- دانشجوی دکترای مهندسی محیط‌زیست- منابع آب، دانشگاه تهران، تهران، ایران

۲- دانشیار، دانشکده محیط‌زیست، دانشگاه تهران، تهران، ایران
(نویسنده مسئول) niksokhan@ut.ac.ir

۳- استادیار، دانشکده محیط‌زیست، دانشگاه تهران، تهران، ایران

(دریافت ۹۷/۰۵/۱۵ پذیرش ۹۷/۱۲)

برای ارجاع به این مقاله به صورت زیر اقدام بفرمایید:

بینش، ن.، نیک‌سخن، م.، ح.، سارنگ، ا.، ۱۳۹۷، "کمی‌سازی بازگشت‌پذیری سیستم زهکشی شهری بر اساس ارزیابی عملکرد هیدرولیکی" مجله آب و فاضلاب، ۴۷، ۶۱-۷۱.

Doi: 10.22093/wwj.2017.83872.2392

چکیده

با وجود پیشرفت‌های قابل توجه در زمینه مدیریت پایدار سیستم‌های زهکشی رواناب شهری (UDSs)، این قبیل زیرساخت‌ها در معروض تهدید روزافزون محرك‌های غیر قطبی تغییرات آینده قرار دارند. کمی‌سازی بازگشت‌پذیری، گامی مهم در راستای افزایش بلندمدت پایداری مناطق شهری تحت پوشش سیستم‌های زهکشی رواناب است. در پژوهش حاضر از طریق ترکیب عملکرد هیدرولیکی شبکه زهکشی رواناب سطحی با تابع عملکرد سیستم، به کمی‌سازی بازگشت‌پذیری این شبکه‌ها در مقابله با سیل پرداخته شد. به این منظور پس از تعیین مقادیر بارش، حدی برای دوره بازگشت‌های مختلف، شیوه‌سازی هیدرولوژیکی و هیدرودینامیکی سیستم جمع‌آوری آب‌های سطحی حوضه سیلبرگردان غرب در تهران با دو سناریوی وجود و عدم وجود بهترین اقدامات مدیریتی (BMP) صورت گرفت. سپس این روش برای یکی از گره‌های سیالابی شبکه به کار گرفته شد و میزان عملکرد و بازگشت‌پذیری سیستم در این گره انتخابی تحت بارش‌های حدی با دوره بازگشت‌های مختلف برآورد شد. نتایج نشان داد که با اضافه نمودن یک جوی‌باغچه به سیستم زهکشی شهری، مدت سیل گرفتگی در گره منتخب شبکه و حجم آب‌گرفتگی به ترتیب تا میزان ۱۵ و ۴۷ درصد کاهش یافته و بازگشت‌پذیری نسبت به سیل از ۰/۳۷ درصد تا ۵/۸۹ درصد افزایش می‌یابد. بنابراین وجود راهکارهای توسعه کم‌اثر (LID) همراه شبکه سنتی زهکشی شهری می‌تواند در افزایش پایداری سیستم مؤثر باشد.

واژه‌های کلیدی: بازگشت‌پذیری، تابع عملکرد، سیستم زهکشی شهری، راهکارهای مدیریتی

۱- مقدمه

است (Blockley et al., 2012, Butler and Davies, 2011,

Djordjević et al., 2011, Gersonius et al., 2013)

طبق تعریف تودینی در سال ۲۰۰۰، برگشت‌پذیری به توانایی سیستم برای بازگشت به سرویس‌دهی معمول در تأمین اهداف از پیش تعیین شده، پس از وقوع شکست سیستم اطلاق می‌شود (Todini, 2000). به عبارت دیگر بازگشت‌پذیری، توانایی سیستم برای بازیابی خود، پس از وقوع شکست است. بنابراین شاخص بازگشت‌پذیری بر اساس دوره‌ای که طول می‌کشد تا شرایط

تغییرات اخیر در وضعیت اقلیم و محیط زیست در سراسر جهان، افزایش فراوانی رخدادهای بارش حدی را به دنبال داشته است. این مسئله در کنار عملکرد نامناسب و کمبود ظرفیت شبکه جمع‌آوری آب‌های سطحی سبب افزایش سیل و آب‌گرفتگی در مناطق شهری شده است (Lee and Kim, 2017). از این رو در سال‌های اخیر بازگشت‌پذیر ساختن سیستم‌های زهکشی رواناب شهری به عنوان رویکردی مهم در کاهش اثرات سیلاب و پیامدهای آن در شرایط غیر قطبی توسعه شهری و تغییر اقلیم آینده مورد توجه قرار گرفته



آسیب‌پذیری سیستم‌های زهکشی درختی و حلقه‌ای تحت بارش‌های مختلف پرداختند و شکست سازه‌ای ناشی از مسدود شدن لوله در این گونه شبکه‌ها را مورد بررسی قرار دادند، (Zhang et al., 2017)

این پژوهشگران شاخصی به منظور اندازه‌گیری آسیب‌پذیری سیستم زهکشی، پیش و پس از اعمال اقدامات تطبیقی معرفی نمودند. نتایج حاصل نشان می‌دهد که شبکه‌های درختی در صد بیشتری از لوله‌های با شرایط هیدرولیکی بحرانی را نسبت به سیستم‌های حلقوی به خود اختصاص می‌دهند؛ بنابراین آسیب‌پذیری سیستم‌های درختی به طور قابل ملاحظه‌ای بیشتر از شبکه‌های حلقوی است. آنها همچنین نتیجه گرفتند که شاخص آسیب‌پذیری برای سیستم‌های درختی پس از اعمال راهکارهای تطبیقی و تبدیل آنها به شبکه‌های حلقوی کاهش می‌یابد.

از جمله راهکارهایی که امروزه برای افزایش بازگشت‌پذیری سیستم‌های جمع‌آوری آب‌های سطحی در شهرها مورد توجه است، به کارگیری بهترین اقدامات مدیریتی¹ برای کنترل کیفیت و کمیت رواناب در کنار شبکه جمع‌آوری آب‌های سطحی است (Jia et al., 2012). پژوهشگران بسیاری، BMP را در نمونه‌های موردی به کار گرفته شده در پژوهش‌های خود لحاظ نموده‌اند تا تأثیر آن را بر کاهش حجم رواناب و دبی پیک رواناب سطحی ناشی از بارش مورد بررسی قرار دهند

(Åstebøl et al., 2004, Villarreal et al., 2004, Chang and Liou, 2010, Stovin, 2010, Pyke et al., 2011, Jia et al., 2012) نتایج این پژوهش‌ها اغلب گویای تأثیر قابل ملاحظه این قبیل اقدامات مدیریتی بوده است.

در پژوهش‌های کمی به بررسی عملکرد و بازگشت‌پذیری شبکه زهکشی شهری در مواجهه با بارش‌های حداقل حوضه پرداخته شده است. از آنجاکه زیرساخت‌های زهکشی شهری برای دوره بازگشت‌های مشخصی طراحی می‌شوند، در شرایط و قوعه بارش‌های حدی و در مواجهه با پدیده‌هایی چون تغییر اقلیم و توسعه شهری چهار کاهش عملکرد خواهد شد. بنابراین لازم است کمی‌سازی بازگشت‌پذیری این سیستم‌ها در مواجهه با بارش‌های حداقل مد نظر قرار گیرد. بر این اساس پژوهش حاضر به برآورده بازگشت‌پذیری سیستم جمع‌آوری آب‌های سطحی و بررسی عملکرد آن در رویارویی با رخدادهای بارش حدی با دوره

نامطلوب سیستم طی شود، تعیین می‌شود (Nazif, 2010). در پژوهش حاضر، بازگشت‌پذیری به طور ویژه به صورت "توانایی سیستم زهکشی برای به حداقل رساندن حجم و مدت سیالاب ناشی از وقوع بارش‌های حداقل در نظر گرفته شد" (Mugume et al., 2014)

منظور از سیل نیز حجم رواناب مازاد بر ظرفیت شبکه جمع‌آوری آبهای سطحی است که از مجاری سیستم به اطراف سرریز می‌کند.

در دهه‌های اخیر پیشرفت‌های قابل توجهی در رابطه با درک مفهوم بازگشت‌پذیری و کمی‌سازی آن در سیستم‌های مختلف آب شهری صورت گرفته است (Jung et al., 2013, Lansey, 2012) تعداد پژوهش‌های انجام شده در زمینه توسعه روش‌های مناسب ارزیابی و کمی‌سازی بازگشت‌پذیری در زیرساخت‌های زهکشی رواناب شهری بسیار اندک است؛ که البته در سال‌های اخیر بیشتر مورد توجه پژوهشگران واقع شده است. در پژوهشی در سال ۲۰۰۴ شاخص‌هایی با هدف تعریف بازگشت‌پذیری سیستم‌های مدیریت ریسک سیالاب پیشنهاد شد (De Bruijn, 2004) شاخص‌های ارائه شده سه جنبه از مفهوم بازگشت‌پذیری شامل: دامنه واکنش، روند افزایش واکنش با افزایش شدت امواج سیل، و نرخ بازتوانی را پوشش می‌دهد. در پژوهش مذکور پس از اعمال شاخص‌های پیشنهادی بر سیستم‌های فرضی ساده مشخص شد که ترکیبی از این شاخص‌ها می‌تواند در دستیابی به یک دیدگلی از بازگشت‌پذیری سیستم‌های مدیریت ریسک سیالاب مؤثر باشد.

پژوهش انجام شده توسط موگام و همکاران در سال ۲۰۱۴ بیانگر آن است که با افزایش دوره بازگشت بارش، مدت سیل گرفتگی در مناطق مسکونی انگلستان افزایش یافته و به تبع آن، کاهش بیشتری در عملکرد زیرساخت زهکشی رواناب شهری مشاهده شده است (Mugume et al., 2014). این پژوهشگران همچنین نشان دادند که منحنی کاهش عملکرد سیستم زهکشی برای دوره بازگشت‌های طولانی بارش مانند ۵۰ و ۱۰۰ ساله، تغییر نموده و بر یکدیگر منطبق است. در پژوهشی در سال ۲۰۱۴ جعبه ابزاری به منظور کمی‌سازی مفهوم بازگشت‌پذیری در سیستم‌های مدیریت ریسک زهکشی شهری ارائه شد (Tahmasebi Birgani, 2014) ژانگ و همکاران در سال ۲۰۱۷ به تحلیل و مقایسه

¹ Best Management Practices (BMPs)



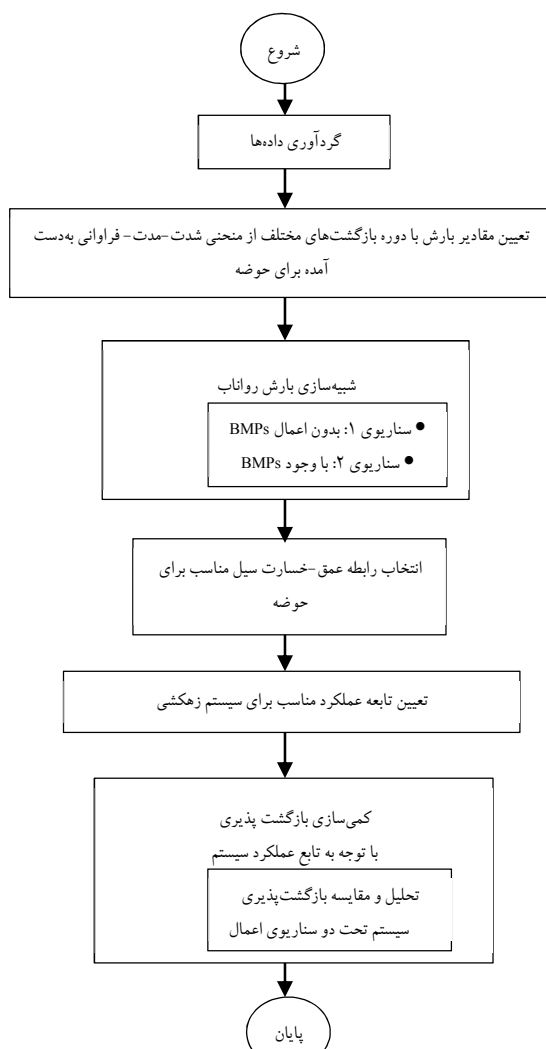


Fig. 1. Flowchart used for quantifying resilience of urban drainage network in Tehran

شکل ۱-۱-فلوچارت کمی‌سازی بازگشت‌پذیری شبکه زهکشی شهری

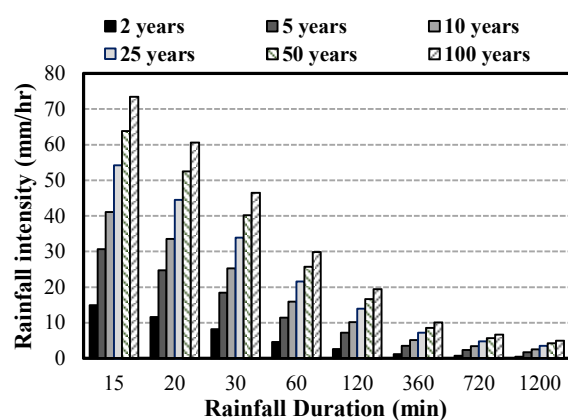


Fig. 2. Rainfall events intensity under defined rainfall duration based on different rainfall return year periods

شکل ۲-۲-وقایع بارش حدی با دوره بازگشت‌های ۲ تا ۱۰۰ سال بر اساس بارش‌های مشاهده شده حوضه

بازگشت‌های مختلف می‌پردازد. در روش ارائه شده، عملکرد شبکه زهکشی شهری بر پایه شبیه‌سازی‌های هیدرودینامیکی و هیدرولوژیکی و با بهکارگیری منحنی عمق-خسارت سیل وتابع عملکرد زیرساخت زهکشی رواناب در دو حالت وجود و عدم وجود اندازه‌گیری شد تا در نهایت بنوان بازگشت‌پذیری این سیستم را در مقابل سیل کمی‌سازی نمود.

۲- مواد و روش‌ها

گام‌های کمی‌سازی بازگشت‌پذیری شبکه جمع‌آوری آب‌های سطحی و روش بهکارگرفته شده در پژوهش حاضر در شکل ۱ نشان داده شده است. در ادامه پس از تشریح مراحل مختلف کار در زیربخش‌هایی جداگانه، به معرفی اجمالی نمونه موردی مورد مطالعه پرداخته می‌شود.

۱-۲- داده‌های بارش حدی و رودی به مدل

همانگونه که ذکر شد، هدف از پژوهش حاضر برآورد عملکرد و بازگشت‌پذیری سیستم زهکشی تحت وقایع بارش حدکثر بود. بهمنظور در نظر گرفتن اثرات روند رو به رشد از توسعه شهری و تغییرات اقلیمی بر افزایش شدت و قایع بارش حدی، لازم است عملکرد سیستم تحت بارش‌های شدیدتر و با دوره بازگشت‌های بزرگ‌تر نیز مورد بررسی و آزمون قرار گیرد. به این منظور نمودارهای شدت-مدت-فرآوانی با استفاده از وقایع بارش حدکثر روزانه حوضه (ثبت شده در سازمان هواشناسی کشور) طی دوره ۳۰ ساله ۱۹۷۱-۲۰۰۰ برای دوره بازگشت‌های مختلف (۲ تا ۱۰۰ سال) به دست آمد (شکل ۲).

۲-۲- شبیه‌سازی بارش-رواناب حوضه

نسخه ۵ نرم افزار SWMM به منظور شبیه‌سازی هیدرولوژیکی و هیدرودینامیکی حوضه بهکار گرفته شد. SWMM مدلی فیزیکی برای شبیه‌سازی هیدرولوژیکی و هیدرودینامیکی با گام زمانی گستته است که می‌تواند برای شبیه‌سازی تک رخداد و پیوسته کمیت و کیفیت رواناب در مناطق شهری مورد استفاده قرار گیرد.

در این پژوهش، شبیه‌سازی کمیت رواناب در شبکه‌ای مرکب از کانال‌های روباز و روبسته با شکل‌های مستطیلی و نعل اسپی دارای



افزایش عملکرد آن به لحاظ کاهش سرعت رواناب و نیز حذف آلاینده‌ها و بهبود کیفیت رواناب می‌شود.

۳-۲- توابع عمق- خسارت و عملکرد سیستم

به دلیل عدم وجود داده‌های ثبت شده خسارت ناشی از سیل در محدوده مورد مطالعه به ازای اعمق مختلف آبگرفتگی، از منحنی عمق- خسارت توسعه داده شده توسط تجربی شی و ملک محمدی در سال ۲۰۰۹ برای مناطق مسکونی ایران (ساختمان‌های یک طبقه با و بدون زیرزمین) استفاده شد و با برآذش خطی به نقاط ثبت شده در این منحنی (با این فرض که تغییرات به صورت خطی باشد). معادله درصد خسارت بر حسب عمق آبگرفتگی، به صورت زیر به دست آمد (Tajrishi and Malek Mohammadi, 2009)

$$D_x = 15.369x + 7.1764 \quad (1)$$

که در آن

x عمق آبگرفتگی (متر) و D_x درصد خسارت ناشی از سیل به ازای عمق x است. لازم به ذکر است که مقدار خسارت حاصله به ازای عمق صفر سیلاب در معادله فوق، مربوط به ساختمان‌های دارای زیرزمین و طبقات زیر همکف می‌باشد.

تابع عملکرد سیستم در مقابله با سیل و آبگرفتگی به صورت معادله ۲ در نظر گرفته شد (Mugume et al., 2014). توابع عملکرد زیرساخت زهکشی شهری عملکرد کلی یک سیستم زهکشی را به عمق سیل ارتباط می‌دهند. این نوع توابع در واقع مدل‌های ریاضی هستند که یک ویژگی موردنظر از عملکرد سیستم را به عددی در محدوده صفر تا ۱ مرتبط می‌کند. شاخص یک نشان‌دهنده عملکرد کامل و شاخص صفر مربوط به کمترین سطح از عملکرد سیستم است (Cardoso et al., 2004, Gharaibeh et al., 2006).

$$u(x) = 1 - \frac{D_x}{D_{\max}} \quad (2)$$

که D_{\max} بیشترین خسارت سیل است که به ازای عمق بیشینه آبگرفتگی اتفاق می‌افتد که این عمق بر اساس پژوهش‌های پیشین ۳ متر در نظر گرفته شد. بر اساس این تابع، بهترین سطح عملکرد سیستم هنگامی اتفاق می‌افتد که عمق آبگرفتگی برابر با صفر باشد ($x=0$)، که در این حالت مقدار عملکرد زیرساخت زهکشی شهری در نظر گرفته می‌شود. کمترین سطح عملکرد سیستم نیز

عرض ۱/۴ تا ۳۰ متر و ارتفاع ۱/۴ تا ۶ متر مد نظر قرار گرفت. پیکربندی سیستم در مدل SWMM شامل ۷۳ گره به غیر از گره خروجی، و ۷۴ کanal زهکشی است. طول کانال‌های زهکش و ارتفاع گره‌های شبکه از روی نقشه DEM حوضه که از مهندسین مشاور یکم دریافت شده بود، به دست آمد (Yekom Consulting Engineers, 2009) به اطلاعات شماره منحنی زیرحوضه‌ها، فرایند نفوذ با استفاده از روش شماره منحنی^۱ صورت گرفت و روندیابی جریان با روش موج دینامیکی (حل معادلات کامل سنت‌ونانت) انجام شد، زیرا این نوع روندیابی می‌تواند انواع رژیم‌های مختلف جریان چون برگشت آب، سرریز از سیستم، جریان معکوس، و ایجاد حوضچه‌های سطحی را نیز در نظر بگیرد (Rossman, 2010).

از آنجاکه بارش‌های شمال تهران معمولاً^۲ یا ۷ ساعته هستند (Nazif, 2010)، در این پژوهش از الگوی توزیع زمانی بارش ۶ ساعته به کار گرفته شده توسط شرکت مهندسین مشاور مهاب قدس (Mahab-e-Ghods Consulting Engineers, 2011) به منظور شبیه‌سازی بارش- رواناب حوضه استفاده شد. در این پژوهش فرض شده است که خصوصیات زمانی و قایع بارش حدی در شرایط اقلیمی آینده بدون تغییر باقی بماند (Mugume et al., 2013). گام زمانی بارش، ۳۰ دقیقه‌ای و گام زمانی رواناب خروجی، ۱ ساعته انتخاب شد. مدت زمان شبیه‌سازی نیز ۳ روز در نظر گرفته شد.

شبیه‌سازی تحت دو سناریوی (۱) شرایط موجود سیستم و (۲) اضافه نمودن یک BMP به سیستم صورت گرفت. جوی باعچه‌ای با شبیط طولی نزدیک به ۱ متر و شبیط جانبی ۳ متر، که دارای ضریب زیری ۰/۱ بوده و حدود ۵۰ درصد از سطح آن دارای پوشش گیاهی است، به عنوان BMP در زیرحوضه‌ها اعمال شد تا تأثیر آن بر بهبود وضعیت سیل گرهی مورد بررسی قرار گیرد. وجود پوشش گیاهی در جوی باعچه سبب بهبود نفوذ آب باران به داخل خاک شده و در افزایش بازگشت پذیری سیستم زهکشی مؤثر است. نوع گیاهان مورد استفاده در جوی باعچه عمدتاً متناسب با پوشش گیاهی منطقه مورد نظر انتخاب می‌شود.

بنابر نظر پژوهشگران دانشگاه سن دیه‌گو، استفاده از گیاهان بومی منطقه در این نوع BMP به جای انواع علف‌کاری، سبب

^۱ Curve Number (CN)



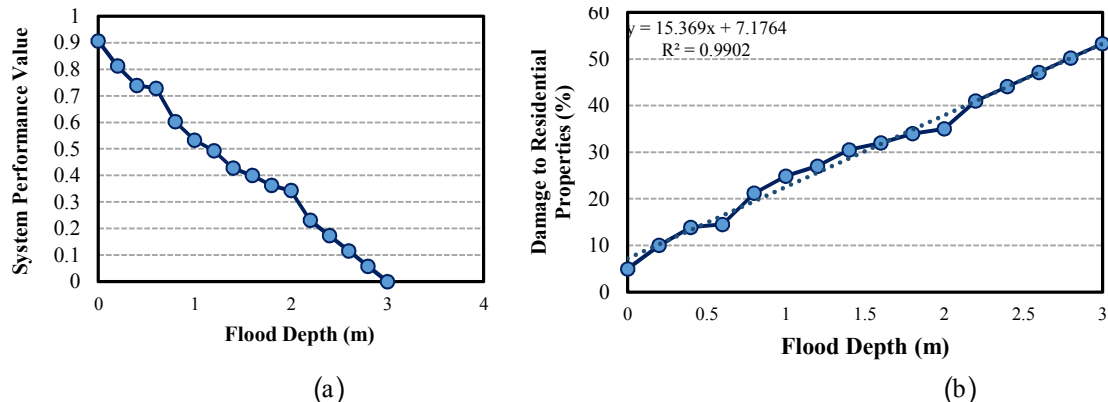


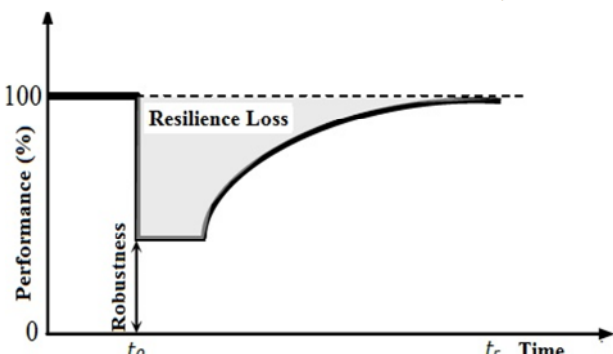
Fig. 3. The curve of system performance value and damage to residential properties against different urban flooding depths for residential areas of Tehran, Iran (a) System performance function values curve, and (b) Damage to residential properties curve

شکل ۳-۳ (a) منحنی عمق-خسارت مناطق مسکونی ایران و خط برآش داده شده به آن (b) مقادیر تابع عملکرد سیستم به ازای اعماق مختلف سیل شهری

سیستم بیشتر است، به همین ترتیب ناحیه زیر منحنی عملکرد سیستم، نشان دهنده میزان بازگشت پذیری آن است. بنابراین پس از برآورد تابع عملکرد سیستم زهکشی در هر گام زمانی به ازای اعماق مختلف سیل (x_i)، بازگشت پذیری سیستم (Res) را می‌توان از معادله زیر کمی‌سازی نمود (Mugume et al., 2014)

$$Res = \frac{1}{t_n} \int_{t_0}^{t_n} u(t) dt \quad (3)$$

که t_0 زمان شروع شبیه‌سازی و t_n کل زمان سپری شده در انتهای شبیه‌سازی است. ($u(t)$ مقدار تابع عملکرد زیرساخت زهکشی شهری در گام‌های زمانی با فواصل ۱ ساعت است.



شکل ۴- شکل شماتیک از مفهوم بازگشت پذیری

۵-۲-معرفی محدوده مورد مطالعه

متداول‌تری فوق‌الذکر بر روی شبکه زهکشی حوضه سیل‌برگردان غرب واقع در شهر تهران، با مساحت تحت پوشش ۱۴۲/۶۳

به ازای عمق مساوی یا بیشتر از ۳ متر رخ می‌دهد (Mugume et al., 2014) که مقدار عملکرد زیرساخت زهکشی برای آن صفر است. شکل ۳-a-۳ منحنی عمق-خسارت مورد استفاده برای مناطق مسکونی کشور ایران و شکل ۳-b-۳ تابع عملکرد سیستم زهکشی را بر اساس منحنی عمق خسارت مذکور و معادله ۲ نشان می‌دهد. با توجه به این شکل مشاهده می‌شود که عملکرد سیستم زهکشی با افزایش عمق سیل همبستگی منفی دارد. به طوری که سیلانی با عمق بیش از ۶۰ سانتی‌متر، عملکرد سیستم زهکشی را بیش از ۳۰ درصد کاهش می‌دهد.

۴-۲-کمی‌سازی بازگشت پذیری سیستم زهکشی شهری

مفهوم بازگشت پذیری را می‌توان با توجه به شکل ۴ این‌گونه توضیح داد که ایجاد اختلال در سیستم در اثر یک واقعه حداثت در زمان t_0 ، سبب کاهشی در عملکرد سیستم به میزان (۱۰۰ - . با مقدار صلابت^۱ سیستم) می‌شود (Valizadeh et al., 2016). با شروع بازتوانی سیستم، عملکرد به تدریج بازیابی می‌شود تا در زمان t_r به سطح عملکرد نرمال خود برگردد. ناحیه فوقانی منحنی تشکیل شده در این فرایند در دوره زمانی مورد نظر، میزان عدم بازگشت پذیر بودن سیستم را نشان می‌دهد (Bocchini et al., 2013). هر چه مساحت این ناحیه کوچک‌تر باشد، بازگشت پذیری

^۱ Robustness

۵۰، و ۱۰۰ ساله به ترتیب تعداد ۷، ۶ و ۱۱ گره دچار آبگرفتگی شد. در پژوهش حاضر به منظور تحلیل نتایج شبیه‌سازی، گره ۴۹ به عنوان نمونه انتخاب شد که موقعیت آن در شکل ۵ نمایش داده شده است. دلیل انتخاب این گره، حجم نسبتاً زیاد آبگرفتگی در محل آن، و نیز مشترک بودن این گره در میان گره‌های سیل‌گرفته برای تمام دوره بازگشت‌های مورد بررسی بود.

شکل ۶ مدت زمان شکست سیستم و حجم رواناب سریز شده از شبکه را برای دو سناریوی وجود و عدم وجود BMP نشان می‌دهد. براساس این شکل می‌توان گفت که در مجموع اضافه کردن یک جوی‌باغچه به سیستم زهکشی حوضه مورد بررسی، متوسط مدت زمان سیل گرهی را به میزان ۱۵ درصد و حجم سیل را بین ۴ تا ۴۷ درصد کاهش می‌دهد.

شکل ۷ نمودار متوسط عمق سیل را نسبت به زمان برای هر دو سناریوی وجود و عدم وجود جوی‌باغچه در سیستم زهکشی نشان می‌دهد. بر اساس این شکل ملاحظه می‌شود که حداقل عمق سیالاب برای تمام دوره بازگشت‌های مورد بررسی در حدود ۵ ساعت پس از آغاز بارندگی به وقوع می‌پیوندد. نتایج شبیه‌سازی نشان می‌دهد که اضافه نمودن یک جوی‌باغچه به هر زیرحوضه

کیلومتر مربع به کار گرفته شد. این حوضه خود دربرگیرنده سه زیرحوضه درکه، فرزاواد، و حصارک (وسک) بوده و در مختصات جغرافیایی بین ۳۰-۴۸-۳۵-۵۲-۴۹-۳۵ عرض شمالی و ۱۳-۱۹-۵۱-۲۲-۲۹ طول شرقی واقع است. حوضه سیل‌برگردان غرب از دو بخش شهری و کوهستانی تشکیل شده که رواناب حاصل از بخش کوهستانی نیز در رواناب ورودی به شبکه زهکشی شهری مشارکت می‌نماید و لازم است در مدل‌سازی‌ها لحاظ شود، که با توجه به قابلیت نرم‌افزار SWMM مدل‌سازی انواع مختلف کانال‌های طبیعی و مصنوعی، هر دو بخش شهری و بروون شهری در این نرم‌افزار شبیه‌سازی شد. شکل ۵ نمایی از بخش‌های شهری و کوهستانی حوضه و شبکه زهکشی آن را در محیط نرم‌افزار SWMM نشان می‌دهد.

۳- نتایج و بحث

۱- نتایج شبیه‌سازی هیدرولوژیکی و هیدرودینامیکی

نتایج حاصل از شبیه‌سازی بارش-رواناب نشان داد که در شرایط موجود سیستم (سناریوی اول)، برای دوره بازگشت‌های بارش ۲، ۵، و ۱۰ ساله، تعداد ۵ گره از شبکه و برای دوره بازگشت‌های ۲۵

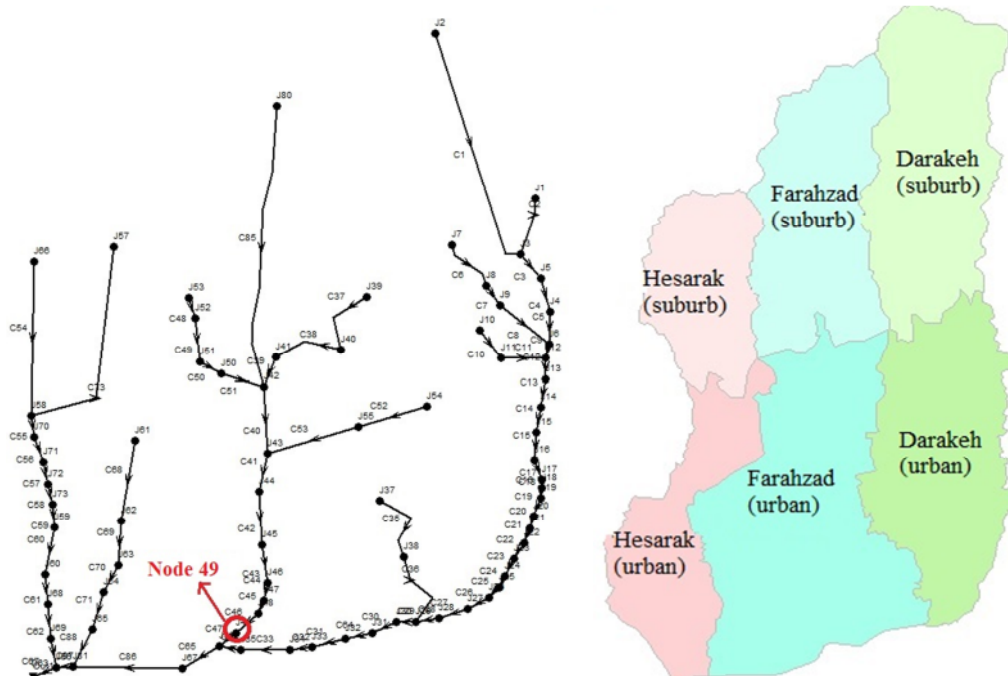
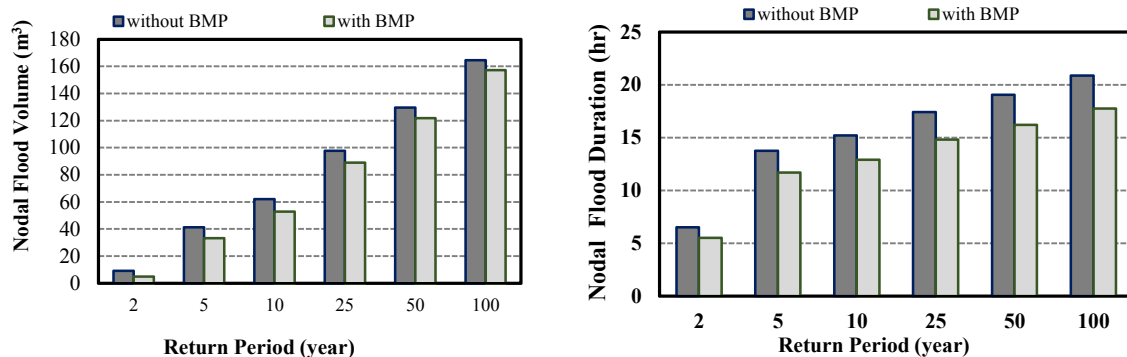


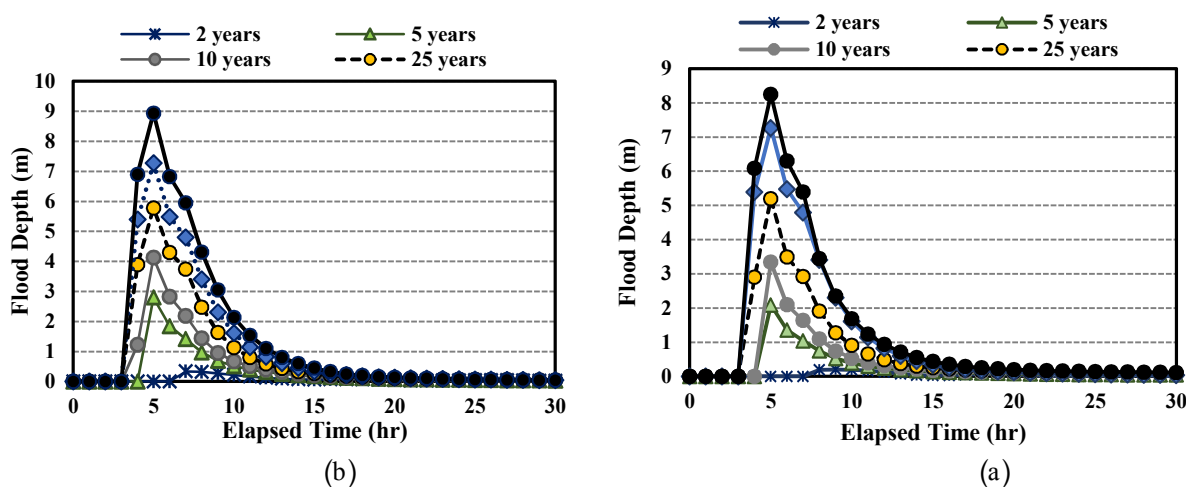
Fig. 5. Flood-Diversion catchment for Western watershed areas of Tehran (scale: 1/200000) and the location of nodes and links used in SWMM model (Source: Authors)

شکل ۵- حوضه سیل‌برگردان غرب (مقیاس ۱/۲۰۰۰۰) و گره‌ها و مسیل‌ها /کانال‌های زهکشی مدل شده در SWMM (مأخذ: پژوهشگران)





شکل ۶- مدت آبگرفتگی و حجم کل سیل برای وقایع بارش حداقل در دوره بازگشت های مختلف در دو حالت وجود و عدم وجود BMP



شکل ۷- عمق سیل گرهی برای سیستم زهکشی شهری (الف) بدون BMP. و (ب) با وجود BMP

بر اساس عملکرد محاسبه شده برای شبکه زهکشی، مقدار بازگشت پذیری سیستم نیز به دست آمد که در جدول ۱ ارائه شده است.

مطابق این جدول، محدوده بازگشت پذیری سیستم زهکشی شهری در حالت عدم وجود BMP از ۹۶ درصد (دوره بازگشت ۲ سال) تا ۷۲/۶۱ درصد (دوره بازگشت ۱۰۰ سال) تغییر می کند. اضافه نمودن جوی با غچه به سیستم، بازگشت پذیری آن را در محدوده ۹۶/۳۷ درصد (دوره بازگشت ۲ سال) تا ۵۰/۰ تا ۷۸ درصد (دوره بازگشت ۱۰۰ سال) قرار می دهد. بنابراین بازگشت پذیری سیستم به میزان ۳۷/۰ تا ۵/۸۹ درصد افزایش می یابد و به این ترتیب با وجود BMP در زیر حوضه ها، سیستم به لحاظ عملکرد هیدرولیکی در مدت زمان کمتری به وضعیت اولیه اش باز می گردد.

سبب کاهش قابل ملاحظه عمق سیلاب شده و زمان رسیدن به اوج سیل را نیز به میزان انداختی به تأخیر می اندازد.

۲-۳- برآورد عملکرد و بازگشت پذیری سیستم زهکشی
مقدار عملکرد سیستم ($U(t)$) براساس اینکه در هر گام زمانی چه عمقی از آبگرفتگی ایجاد می شود، تحت دو سناریوی مورد بررسی بر اساس معادله ۲ به دست آمد که نتایج در شکل ۸ قابل مشاهده است.

ملحوظه می شود که وجود یک BMP در کار شبکه جمع آوری آب های سطحی در حوضه، برای تمام دوره بازگشت های مورد بررسی سبب بهبود عملکرد سیستم شده و تعداد نقاط شکست سیستم را کاهش داده است.

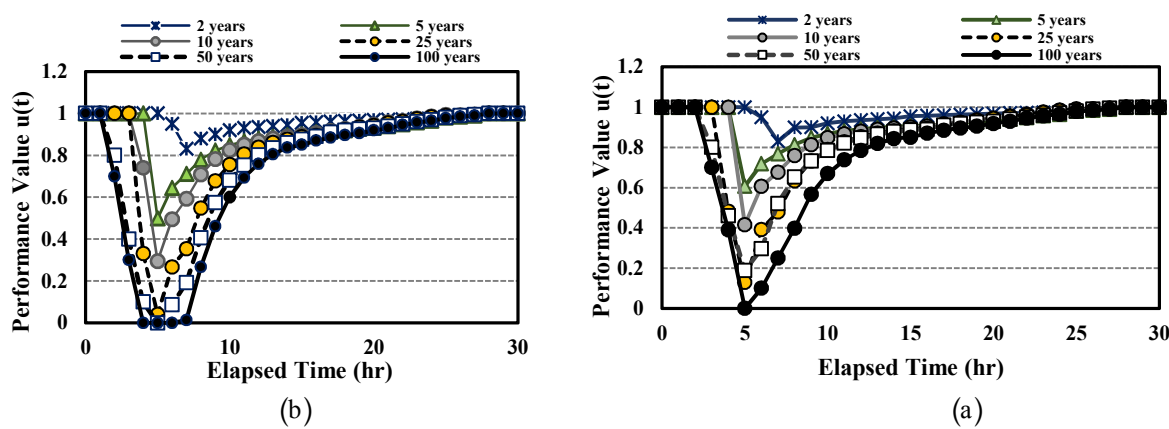


Fig. 8. System performance curves for urban drainage system at node No.49: (a) without BMPs, and b) with BMPs
شکل ۸- منحنی های عملکرد سیستم زهکشی شهری (a) بدون BMP و (b) با وجود BMP

جدول ۱- بازگشت‌پذیری سیستم در گره مورد نظر برای دوره‌بازگشت‌های مختلف

Table 1. System resilience at given node for different return periods

	2	5	10	25	50	100
System resilience percent (without BMP)	96	90.67	88	82.89	76.53	72.61
System resilience percent (with BMP)	96.37	92	90.46	85.21	84.16	78.50
System resilience increasing (%)	0.37	1.33	2.46	2.32	7.63	5.89

۴- نتیجه‌گیری

کاهش حجم و دبی اوج رواناب لازم است در رابطه با تعداد و موقعیت قرارگیری BMP‌ها در حوضه، بهینه‌سازی صورت گیرد. همچنین اجرای BMP‌های مناسب در زیرحوضه بالا دست (مناطق برون شهری حوضه) نیز می‌تواند در بهبود عملکرد و ارتقاء بازگشت‌پذیری سیستم مؤثر باشد.

در مجموع بازگشت‌پذیری سیستم زهکشی رواناب در گره مورد بررسی در حوضه سیل برگردان غرب مناسب برآورد شد. البته در این پژوهش بازگشت‌پذیری و عملکرد سیستم تنها در یک گره سیالابی مورد بررسی قرار گرفت. بهمنظور برآورد بازگشت‌پذیری کل سیستم لازم است تمام گره‌های سیل گرفته در شبکه مورد تحلیل و بررسی قرار گیرند که لازم است این امر در مطالعات آتی بررسی شود. همچنین با توجه به اینکه بازگشت‌پذیری خود در برگیرنده عوامل متعددی چون صلابت و نرخ بازیابی سیستم است، پیشنهاد می‌شود در پژوهش‌های آینده، توسعه شاخص‌های عملکرد مجازی برای هر یک از این عوامل مورد توجه قرار گیرد و تأثیر حالات مختلف شکست سیستم بر بازگشت‌پذیری سیستم زهکشی شهری ارزیابی شود.

این پژوهش با هدف کمی‌سازی بازگشت‌پذیری شبکه زهکشی شهری و بررسی تأثیر وجود BMP‌ها بر بهبود بازگشت‌پذیری سیستم انجام شد و به این منظور از رابطه عمق- خساره سیل در نواحی مسکونی و تابع عملکرد زیرساخت زهکشی شهری استفاده شد و نهایتاً بازگشت‌پذیری سیستم زهکشی با اعمال مقادیر عملکرد محاسبه شده بر اساس نتایج شبیه‌سازی در مدل SWMM به دست آمد. نتایج نشان داد که وجود BMP‌ها در کنار شبکه سنتی جمع آوری آب‌های سطحی بر افزایش بازگشت‌پذیری سیستم مؤثر است که این تأثیر در دوره بازگشت‌های طولانی بارش به خوبی قابل تشخیص است، این معنا که با افزایش شدت بارش‌های حدی، که می‌تواند ناشی از تغییرات اقلیمی و مانند آن باشد، وجود راهکارهای توسعه کم‌اثر می‌تواند در کاهش حجم سیل و آبگرفتگی در مناطق شهری مؤثر واقع شود. با این حال معرفی BMP به مدل به طور کامل سیل گرهی را حذف نمی‌کند. این امر می‌تواند به تعداد و نوع BMP‌های مورد استفاده، جانمایی آنها در حوضه، پیکربندی شبکه زهکشی و مصالح مورد استفاده در ساخت BMP‌ها و سایر ویژگی‌های آنها نسبت داده شود. بهمنظور حصول بهترین نتیجه در



References

- Åstebøl, S. O., Hvítved-Jacobsen, T. & Simonsen, Ø. 2004. Sustainable stormwater management at Fornebu—from an airport to an industrial & residential area of the city of Oslo, Norway. *Journal of Science of the Total Environment*, 334–335(0), 239-249.
- Blockley, D., Agarwal, J. & Godfrey, P. 2012. Infrastructure resilience for high-impact low-chance risks. in: *Proceedings of the Institution of Civil Engineers, Civil Engineering Special Issue* 165, Issue CE6. ICE Publishing, 3-19.
- Butler, D. & Davies, J.W. 2011. *Urban drainage*, 3rd Ed., Spon Press, Taylor & Francis Group, London & New York.
- Bocchini, P., Frangopol, D. M., Ummenhofer, T. & Zinke, T. 2013. Resilience and sustainability of civil infrastructure: Toward a unified approach. *Journal of Infrastructure Systems*, 20(2), Article ID: 04014004.
- Chang, C.L. & Liou, T.Y. 2010. The placement strategies of structural best management practices for different moving rainstorms. *Journal of Environtal Monitoring and Assessment*, 166(1-4), 495-502.
- Cardoso, M., Coelho, S., Matos, R. & Alegre, H. 2004. Performance assessment of water supply & wastewater systems. *Urban Water Journal*, 1, 55-67.
- De Bruijn, K. M. 2004. Resilience indicators for flood risk management systems of lowland rivers. *International Journal of River Basin Management*, 2(3), 199-210.
- Djordjević, S., Butler, D., Gourbesville, P., Mark, O. & Pasche, E. 2011. New policies to deal with climate change & other drivers impacting on resilience to flooding in urban areas: The CORFU approach. *Journal of Environtal Science and Policy*, 14, 864-873.
- Gersonius, B., Ashley, R., Pathirana, A. & Zevenbergen, C. 2013. Climate change uncertainty: Building flexibility into water & flood risk infrastructure. *Journal of Climate Change*, 116, 411-423.
- Gharaibeh, N.G., Asce, M., Chiu, Y. & Gurian, P.L. 2006. Decision methodology for allocating funds across transportation infrastructure assets. *Journal of Infrastructure Systems*, 12, 1-9.
- Jia, H., Lu, Y., Yu, Sh. & Chen, Y. 2012. Planning of LID-BMPs for urban runoff control: The case of Beijing Olympic Village. *Journal of Separation and Purification Technology*, 84 (9), 112-119.
- Jung, D., Kang, D., Kim, J.H. & Lansey, K. 2013. Robustness-based design of water distribution systems. *Journal of Water Resources Planning and Management*, 140(11), 10.1016/(ASCE) WR. 1943-5452.000421.
- Kim, B., Kim, Y., Sanders, B.F., Famiglietti, J.S. & Han, K. 2013. Calibration of stormwater management model using flood extent data. *Proceedings of the Institution of Civil Engineers: Water Management*, 167, 17-29.
- Lansey, K. 2012. Sustainable, robust, resilient, water distribution systems. *14th Water Distribution Systems Analysis Conference*, Engineers Australia, pp. 1-18.
- Lee, E.H. & Kim, J.H. 2017. Design & operation of decentralized reservoirs in urban drainage systems. *Journal of Water*, 9 (4), 246.doi: 10.3390/w9040246.
- Mahab-e-Ghods & Poyry Group Consulting Engineers. 2011. *Comprehensive Plan of Tehran's surface water management, Volume III: Basis & regulations of surface water network design & type maps*, Technical & Development department of Tehran Municipality & Tehran Technical-Engineering Consulting Agency (In Persian).



- Mugume, S., Gomez, D. & Butler, D. 2013. Statistical methods for climate change impact assessment on urban rainfall extremes for cities in tropical developing countries – A review. In: Butler, D., Chen, A.S., Djordjevic, S., Hammond, M.J. (Eds.), *International Conference on Flood Resilience: Experiences in Asia & Europe*, University of Exeter, Exeter, United Kingdom.
- Mugume, S., Gomez, D. & Butler, D. 2014. Quantifying the resilience of urban drainage systems using a hydraulic performance assessment approach. *13th International Conference on Urban Drainage*, Sarawak, Malaysia.
- Nazif, S. 2010. Developing an algorithm for the assessment of climate change impact on urban water cycle. PhD Thesis, Faculty of Engineering, University of Tehran, Tehran, Iran. (In Persian).
- Pyke, C., Warren, M. P., Johnson, T., LaGro Jr, J., Scharfenberg, J., Groth, P., et al. 2011. Assessment of low impact development for managing stormwater with changing precipitation due to climate change. *Journal of Landscape Urban Planning*, 103(2), 166-173.
- Rossman, L.A. 2010. *Storm water management model user's manual, version 5.0.*, Cincinnati: National Risk Management Research Laboratory, Office of Research & Development, USEPA.
- Stovin, V. 2010. The potential of green roofs to manage Urban Stormwater. *Water and Environment Journal*, 24(3), 192-199.
- Tahmasebi Birgani, Y. 2014. Sustainable management of urban drainage based on resilient risk management. PhD Thesis, Faculty of Civil Engineering, Khajeh Nasireddin-e-Tousi University of Technology, Tehran, Iran (In Persian).
- Tajrishi, M. & Malekmohammadi, B. 2009. Suitable method to accomplish flood insurance program for crisis management in flood condition of urban areas. *Proceedings of the 2nd International Conference on Integrated National Disaster Management*, Tehran, Iran, 1-18.
- Todini, E. 2000. Looped water distribution networks design using a resilience index based heuristic approach. *Urban Water*, 2(2), 115-122.
- Valizadeh, N., Zorn, C.R. & Shamseldin, A.Y. 2016. Evaluating the technical resilience of stormwater systems to flooding. *Stormwater Conference*, Australia.
- Villarreal, E. L., Semadeni-Davies, A. & Bengtsson, L. 2004. Inner city stormwater control using a combination of best management practices. *Journal of Ecological Engineering*, 22(4-5), 279-298.
- Yekom Consulting Engineers. 2009. *A project on (quantitative & qualitative) rehabilitation of surface waters in southern Tehran*, Volume III Tehran, Iran. (In Persian).
- Zhang, C., Wang, Y., Li, Y. & Ding, W. 2017. Vulnerability analysis of urban drainage systems: Tree vs. loop Networks. *Journal of Sustainability*, doi: 10.3390/su9030397.

